

I) Revisão:

Sinais: em engenharia, sinal é qualquer evento que carregue informação.

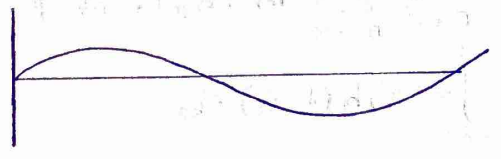
→ A maioria dos sinais físicos são contínuos (posição e velocidade de um corpo, Jala, música captada por um microfone). Só os sinais discretos podem ser armazenados e processados em computadores digitais.

→ **Discretizamos os sinais contínuos!**

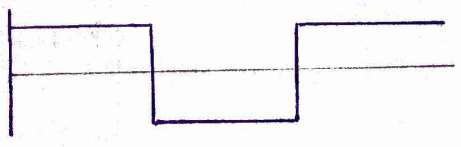
Sinais periódicos:   
 Contínuo:  $x(t+T) = x(t)$    
 Discreto:  $x[k+N] = x[k]$    
 $T, N$  são períodos

Sinais não periódicos:   
 Determinísticos   
 Aleatório   
 → **Sinal Pulso**   
 → **Ruído Branco**

Sinal analógico: caracterizado por variações suaves entre máximo e mínimo de sua amplitude



Sinal digital: caracterizados por variações bruscas

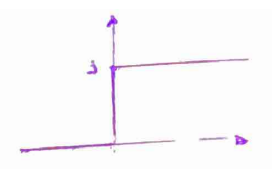


Dimensões:   
 1D: depende do tempo:  $f(t)$    
 2D: depende do espaço:  $f(x, y)$    
 3D: depende do tempo e espaço:  $f(x, y, t)$

Sinais Importantes:

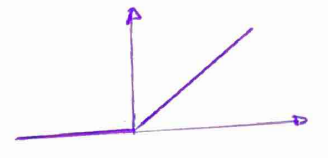
• Degrau unitário:

$$u(t) = \begin{cases} 1, & \text{se } t \geq 0 \\ 0, & \text{se } t < 0 \end{cases}$$



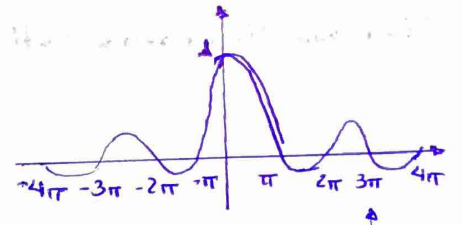
• Rampa unitária:   

$$r(t) = \begin{cases} t, & \text{se } t \geq 0 \\ 0, & \text{se } t < 0 \end{cases}$$



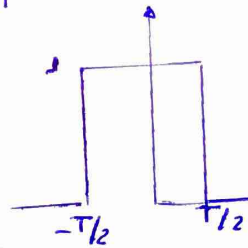
• Sinc   

$$\text{sinc}(x) = \frac{\sin x}{x}$$



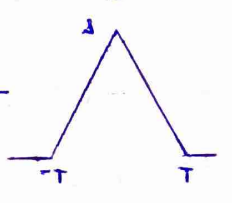
• Retangular   

$$\text{rect}\left(\frac{t}{T}\right) = \begin{cases} 1, & \text{se } |t| \leq T/2 \\ 0, & \text{se } |t| > T/2 \end{cases}$$



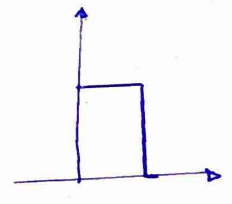
• Triangular   

$$\text{triang}(t/T) = \begin{cases} 1 - \frac{|t|}{T}, & |t| \leq T \\ 0, & |t| > T \end{cases}$$



• Pulso:   

$$S_T(t) = \begin{cases} 0, & t \leq 0 \\ 1/T, & 0 < t \leq T \\ 0, & t > 0 \end{cases}$$



• Impulso   

$$\delta(t) = \lim_{T \rightarrow 0} S_T(t) \Rightarrow \delta(t) = \begin{cases} \infty, & t = 0 \\ 0, & t \neq 0 \end{cases}$$

→ Propriedade Amostragem ou **sifting** do impulso

**Representando qualquer sinal com impulsos!**

$$\int_{-\infty}^{\infty} f(t) \delta(t-a) dt = f(a) \int_{-\infty}^{\infty} \delta(t-a) dt = f(a) \cdot 1$$

*(Note: The integral of the delta function is 1, and the delta function is 0 for t ≠ a.)*

$$\sum_{n=-\infty}^{\infty} \int_{-\infty}^{\infty} f(t) \delta(t-na) dt = \sum_{n=-\infty}^{\infty} f(na)$$

*(Note: This represents a train of impulses sampling the signal at intervals of 'a'.)*

→ Sistema Causal e Não-Causal

Causal: output do sistema não depende de valores futuros do input.

↳ saída depende somente do presente e do passado.

Exemplo:  $y(t) = x(t)$   
 $y(t) = x(t) + x(t-1)$

Sistemas fisicamente realizáveis são causais!

Não-causal: output do sistema depende de valores

futuros do input a qualquer instante de tempo

↳ se ~~se~~ depender de valores futuros chamamos de anti-causal

Exemplo:  $y(t) = x(t+2)$  — anti-causal  
 $y(t) = x(t) + x(t-1) + x(t+1)$

→ SLIT - Sistemas Lineares e Invariantes no Tempo

• Sistemas contínuos são lineares se satisfizerem

a duas propriedades:

↳ homogeneidade:  $x(t) \rightarrow y(t) \rightarrow kx(t) \rightarrow ky(t)$

↳ aditividade (superposição):

$x_1 \rightarrow y_1$   
 $x_2 \rightarrow y_2 \rightarrow x_1(t) + x_2(t) \rightarrow y_1(t) + y_2(t)$

• Um sistema é dito invariante no tempo se um deslocamento no tempo do sinal de entrada implicar em um deslocamento idêntico no sinal de saída.

$x(t) \rightarrow y(t) \Rightarrow x(t \pm \tau) \rightarrow y(t \pm \tau)$

↳ é aquele cujo os parâmetros não mudam no tempo (coeficientes são eles).

Podemos caracterizar a resposta do SLIT a qualquer entrada sabendo a resposta do sistema ao impulso.

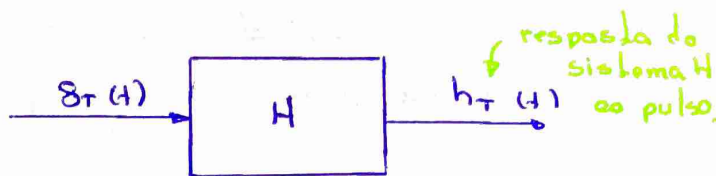
↳ Realizar a convolução com o sinal de entrada qualquer. — só para SLIT!

Entrada:  $x(t) = \lim_{T \rightarrow 0} \tilde{x}(t)$  —  $\tilde{x}(t) = x(nT)$

Tronco de impulso:  $\tilde{x}(t) = \sum_{n=-\infty}^{\infty} x(nT) \delta_T(t-nT)T$

para cada  $nT \leq t < (n+1)T$

pulso  
 garante a  
 amostragem  
 sem oitavas  
 valores no  
 intervalo



resposta do sistema H ao pulso.

Logo, a saída referente ao tronco de impulso será:

$\tilde{y}_T = H \tilde{x}(t) \Rightarrow$  É válido, pois o sistema é linear

$\tilde{y}_T(t) = \sum_{n=-\infty}^{\infty} x(nT) h_T(t-nT) \cdot T$

para cada  $nT \leq t < (n+1)T$  — invariante no tempo

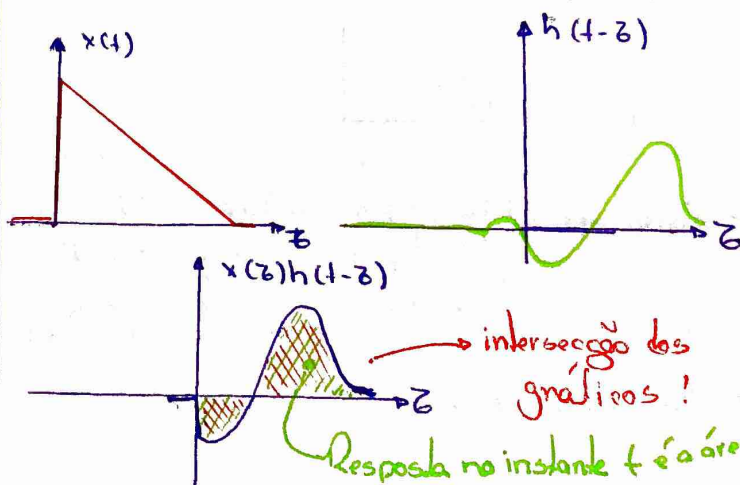
Agora, tomemos o limite para obter um tronco de impulsos.

$S(t) = \lim_{T \rightarrow 0} \delta_T(t) = h(t) = \lim_{T \rightarrow 0} h_T(t)$

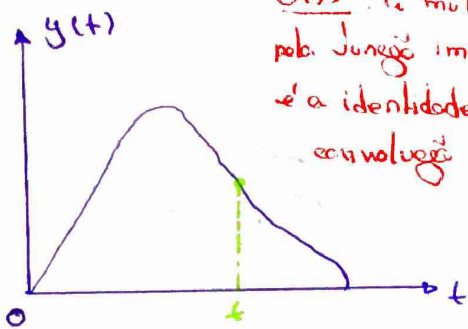
$T \rightarrow 0 \Rightarrow \left. \begin{array}{l} nT \rightarrow \tau \\ T \rightarrow d\tau \end{array} \right\}$

$\therefore y(t) = \lim_{T \rightarrow 0} \sum_{n=-\infty}^{\infty} x(nT) h_T(t-nT)T = \int_{-\infty}^t x(\tau) h(t-\tau) d\tau$

Logo,  
 $y(t) = x(t) * h(t) = \int_{-\infty}^t x(\tau) h(t-\tau) d\tau$



intersecção dos gráficos!  
 Resposta no instante t é a área!



Obs.: a multiplicação por Junção impulso é a identidade na convolução!

Exemplo:

$$\int x e^{ax} dx = \left( \frac{x}{a} - \frac{1}{a^2} \right) e^{ax}$$

Este tempo de ação de 0,  $\infty$  só serve para mostrar que é tão pequeno que podemos considerar como um impulso!

$$h(t) = e^{-3t} \quad e \quad x(t) = F(t) = t$$

$$y(t) = \int_{-\infty}^{\infty} x(\tau) h(t-\tau) d\tau \Rightarrow$$

Obs: sistema causal

$$\Rightarrow y(t) = \int_0^t e^{-3(t-\tau)} d\tau \Rightarrow y(t) = \frac{t}{3} - \frac{1}{9} + \frac{1}{9} e^{-3t}$$

↳ não há instantes de tempo negativos (enunciado).

Obs: linearidade

1) linearidade do sistema independe do "escalamento" do tempo.

2) linearidade do sistema independe do "coeficiente" utilizado na relação dos sistemas

II) Transformada de Fourier:

$x[n] \rightarrow$  informação no domínio do tempo

$$X[0] = x[0] + x[1] \quad \text{no baixa frequência}$$

$$X[1] = x[0] - x[1] \quad \text{no alta frequência}$$

Na transição do domínio do tempo (tempo) para o domínio da frequência (espectral) e vice-versa, não há perda de informação!

↳ Série de Fourier: extensão finita do intervalo

Como passar do domínio do tempo para o domínio da frequência?

"Qualquer Junção periódica pode ser reescrita como uma soma ponderada de senos e cossenos de diferentes frequências"

Uma Junção periódica  $x(t)$  que satisfaça as condições de Dirichlet pode ser expressa como uma série de Fourier, com termos de senos e cossenos harmonicamente relacionados:

$$x(t) = \frac{a_0}{2} + \sum_{n=1}^{\infty} (a_n \cos(n\omega_0 t) + b_n \sin(n\omega_0 t))$$

↳ equação de síntese no discretizamos espacialmente o sinal  $x$

$$\text{onde, } a_0 = \frac{2}{T} \int_T x(t) dt;$$

$$a_n = \frac{2}{T} \int_T x(t) \cdot \cos(n\omega_0 t) dt;$$

$$b_n = \frac{2}{T} \int_T x(t) \cdot \sin(n\omega_0 t) dt; \quad \omega_0 = \frac{2\pi}{T}$$

Para demonstrar como achar os coeficientes devemos lembrar das Propriedades de Ortogonalidade:

$$\int_T \sin(m\omega_0 t) \cdot \cos(n\omega_0 t) dt = 0, \quad \forall n$$

$$\int_T \sin(n\omega_0 t) \sin(m\omega_0 t) dt = 0, \quad \text{se } m \neq n$$

$$\int_T \cos(m\omega_0 t) \cdot \cos(n\omega_0 t) dt = 0, \quad \text{se } m \neq n$$

Condições de Dirichlet:

• O sinal deve ser absolutamente integrável:  $\int_{-T}^{+T} |x(t)| dt$  não tende a infinito

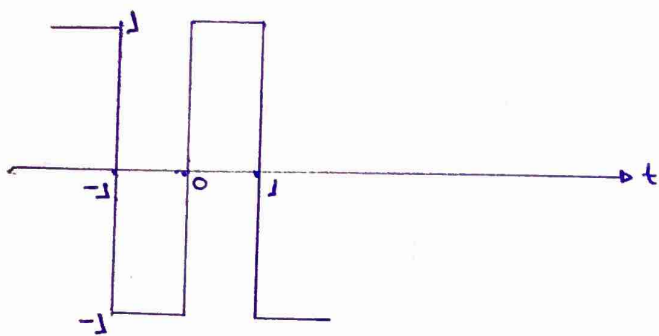
•  $x(t)$  deve ter um número finito de descontinuidades

•  $x(t)$  deve ter um número finito de máximos e mínimos.

Exemplo: onda quadrada

$$x(t) = \begin{cases} -1, & \text{se } -1 < t < 0 \\ 1, & \text{se } 0 < t < 1 \end{cases}, \quad x(t+nT) = x(t)$$

Período:  $T = 2s \therefore \omega_0 = \frac{2\pi}{2} = \pi \frac{\text{rad}}{s}$



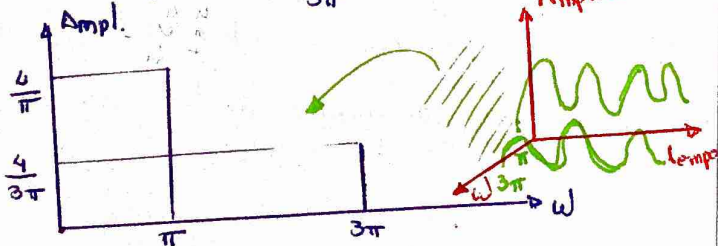
$a_0 = \frac{2}{T} \int_0^T x(t) dt = 0$  *é 0, pois, a média das amplitudes é zero.*

$a_n = \frac{2}{T} \int_0^T x(t) \cdot \cos(n\omega_0 t) dt = 0$  *Coeficiente par x função ímpar*

$b_n = \frac{2}{T} \int_0^T x(t) \cdot \sin(n\omega_0 t) dt =$   
 $= \frac{2}{T} \int_{-1}^0 (-1) \sin(n\omega_0 t) dt + \frac{2}{T} \int_0^1 1 \cdot \sin(n\omega_0 t) dt =$   
 $= \frac{2}{2} \left[ -\int_{-1}^0 \sin(n\pi t) dt + \int_0^1 \sin(n\pi t) dt \right] =$   
 $= \frac{1}{n\pi} \left( \cos(n\pi t) \Big|_{-1}^0 - \cos(n\pi t) \Big|_0^1 \right) =$   
 $= \frac{1}{n\pi} [1 - \cos n\pi - (\cos n\pi - 1)] = \frac{2}{n\pi} (1 - \cos n\pi) =$   
 $= \frac{2}{n\pi} [1 - (-1)^n]$

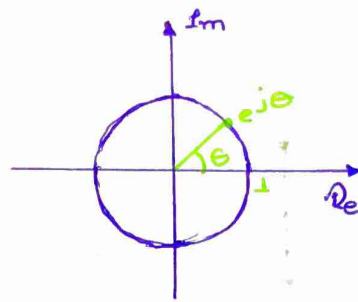
$\therefore x(t) = \sum_{n=1}^{\infty} \frac{2}{n\pi} [1 - (-1)^n] \sin(n\pi t)$  *Composição de Ondas*

$x(t) = \frac{4}{\pi} \sin \pi t + \frac{4}{3\pi} \sin 3\pi t + \dots$  *Amplitude*



Obs: Fenômeno de Gibbs ocorre sempre que você tentar reconstruir uma função com saltos de descontinuidade usando a FS

Lembrando: complexos



Relações de Euler:  
 $e^{j\theta} = \cos \theta + j \sin \theta$   
 $e^{-j\theta} = \cos \theta - j \sin \theta$   
 $\cos \theta = \frac{e^{j\theta} + e^{-j\theta}}{2}$   
 $\sin \theta = \frac{e^{j\theta} - e^{-j\theta}}{2j}$

$\frac{1}{j} = -j$  *Importante Lembrar!*

Na série de Fourier:

$a_n \left( \frac{e^{jn\omega_0 t} + e^{-jn\omega_0 t}}{2} \right) + b_n \left( \frac{e^{jn\omega_0 t} - e^{-jn\omega_0 t}}{2j} \right) =$

$= e^{jn\omega_0 t} \left( \frac{a_n - b_n j}{2} \right) + e^{-jn\omega_0 t} \left( \frac{a_n + b_n j}{2} \right) =$   
 $\underbrace{\left( \frac{a_n - b_n j}{2} \right)}_{X[n]} + \underbrace{\left( \frac{a_n + b_n j}{2} \right)}_{X^*[n] = X^*[-n]}$

$= e^{jn\omega_0 t} X[n] + e^{-jn\omega_0 t} X^*[-n]$  *harmônicos!*

$\therefore x(t) = \sum_{n=-\infty}^{\infty} X[n] e^{jn\omega_0 t}$  *Síntese*

*Harmonicos X[n] distanciados  $\Delta\omega = \omega_0 = 2\pi/T$*

Como  $X[n] = \frac{a_n - b_n j}{2} = \frac{2}{T} \int_0^T x(t) \sin(n\omega_0 t) dt$

$\frac{2}{T} \int_0^T x(t) \cos(n\omega_0 t) dt$

$X[n] = \frac{1}{T} \int_0^T x(t) e^{-jn\omega_0 t} dt$  *Análise*

Exemplo: encontrar os coef. da série de Fourier do

sinus  $x(t) = \cos(4\pi t) = \frac{1}{2} e^{j4\pi t} + \frac{1}{2} e^{-j4\pi t}$   
 $\omega_0 = 4\pi$  ;  $T = \frac{2\pi}{\omega_0} = \frac{2\pi}{4\pi} = \frac{1}{2}$

$X[n] = \frac{a_n}{2}$  *média de amplitude é zero!*

$X[0] = \frac{a_0}{2} = 0 \left( = \int_0^T x(t) dt = 0 \right)$

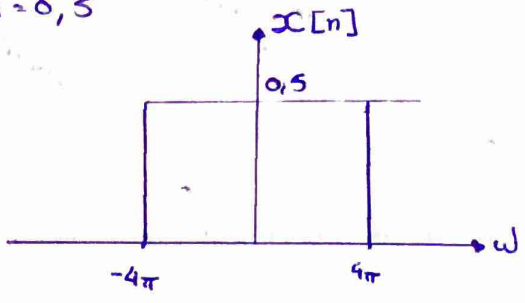
$$a_n = \frac{2}{T} \int_T x(t) \cos n\omega_0 t dt = 4 \int_T \cos 4\pi t \cdot \cos n4\pi t dt$$

$$= 4 \int_T \cos^2 4\pi t dt = 1 \quad \left( \int \cos^2 ax dx = \frac{x}{2} + \frac{\sin 2ax}{4a} \right)$$

$n = \pm 1$

$$\int_T \cos m\omega_0 t \cos n\omega_0 t dt = 0 \rightarrow m \neq n$$

$$X[\pm 1] = 0,5$$



Propriedades das Séries de Fourier:

1) Linearidade:

$$x_1(t) \xrightarrow{FS} X_1[n]$$

$$x_2(t) \xrightarrow{FS} X_2[n]$$

$$\alpha x_1(t) + \beta x_2(t) \xrightarrow{FS} \alpha X_1[n] + \beta X_2[n]$$

2) Translação:

$$x_1(t - \tau) \xrightarrow{FS} e^{-jn\omega_0 \tau} X_1[n]$$

3) Translação na frequência:

$$Y[n] = X[n - k] = X[n] e^{-jn\omega_0 k}$$

$$g(t) = e^{jk\omega_0 t} x(t)$$

→ Transformada de Fourier

Utilizado para sinais não periódicos!

$$X[n] = \frac{1}{T} \int_T x(t) e^{-jn\omega_0 t} dt$$

$$x(t) = \sum_{n=-\infty}^{\infty} X[n] e^{jn\omega_0 t}$$

$$x(t) = \sum_{-\infty}^{\infty} \frac{\Delta\omega}{2\pi} \int_T x(t) e^{-jn\omega_0 t} dt e^{jn\omega_0 t}$$

$$x(t) = \frac{1}{2\pi} \int_{-\infty}^{\infty} \int_{-\infty}^{\infty} x(t) e^{-j\omega t} dt \cdot e^{j\omega t} d\omega$$

$$X(\omega) = \int_{-\infty}^{\infty} x(t) e^{-j\omega t} dt$$

contínuo!  
(não temos mais  $\omega_0$ )  
= sim  $\omega$   
freq. contínua  
Ideia: um sinal aperiódico pode ser visto como um sinal periódico de período infinito.  
Análise de período

$$x(t) = \frac{1}{2\pi} \int_{-\infty}^{\infty} X(\omega) e^{j\omega t} d\omega$$

Sinética

Magnitude e fase:

$$X(\omega) = \int_{-\infty}^{\infty} x(t) e^{-j\omega t} dt \Rightarrow X(\omega) = |X(\omega)| e^{j\angle X(\omega)}$$

Amplitude (magnitude) do espectro.

Impar  $\angle X(\omega)$   
Fase do espectro

Magnitude: informa a intensidade relativa dos componentes na frequência (i.e., energia em cada freq.)

Fase: informa como os componentes de frequência se alinham no tempo ("alinhamento das diferentes junções que compõe o sinal").

$$X(\omega) = \int_{-\infty}^{\infty} x(t) e^{-j\omega t} dt =$$

$$= \underbrace{\int_{-\infty}^{\infty} x(t) \cos \omega t dt}_{A(\omega)} + j \underbrace{\int_{-\infty}^{\infty} x(t) \sin \omega t dt}_{B(\omega)}$$

$$|X(\omega)| = \sqrt{A(\omega)^2 + B(\omega)^2}$$

$$\Theta = \arctg \frac{B(\omega)}{A(\omega)}$$

Exemplo: calcular a transformada da função

$$x(t) = e^{-at} \cdot u(t), a > 0.$$

Solução:

$$X(\omega) = \int_{-\infty}^{\infty} x(t) e^{-j\omega t} dt = \int_0^{\infty} e^{-(a+j\omega)t} u(t) dt =$$

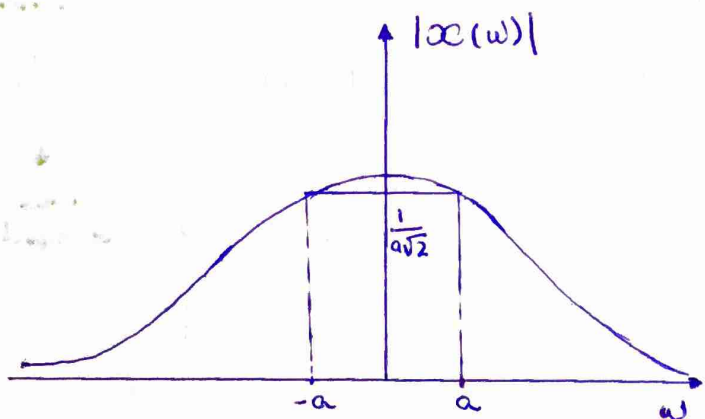
$$= \int_0^{\infty} e^{-(a+j\omega)t} dt = \frac{-1}{a+j\omega} e^{-(a+j\omega)t} \Big|_0^{\infty} =$$

$$= \frac{1}{a+j\omega}$$

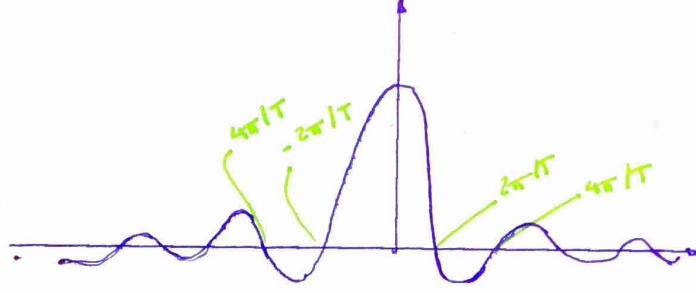
$$X(\omega) = \frac{1}{a+j\omega} \cdot \frac{(a-j\omega)}{(a-j\omega)} = \frac{a^2}{a^2+\omega^2} - j \frac{\omega}{a^2+\omega^2}$$

$$|X(\omega)| = \sqrt{\frac{a^2+\omega^2}{(a^2+\omega^2)^2}} = \frac{1}{\sqrt{a^2+\omega^2}}$$

$$\angle \mathcal{X}(\omega) = \arctan\left(-\frac{\omega}{a}\right) = -a \log(\omega/a)$$



$$= \frac{1}{j\omega} (-e^{-j\omega T/2} + e^{j\omega T/2}) = \frac{2 \sin(\omega T/2)}{\omega T/2} = T \operatorname{sinc}(\omega T/2)$$



Obs: a TF de um impulso é uma constante!

Diagrama de Módulo:

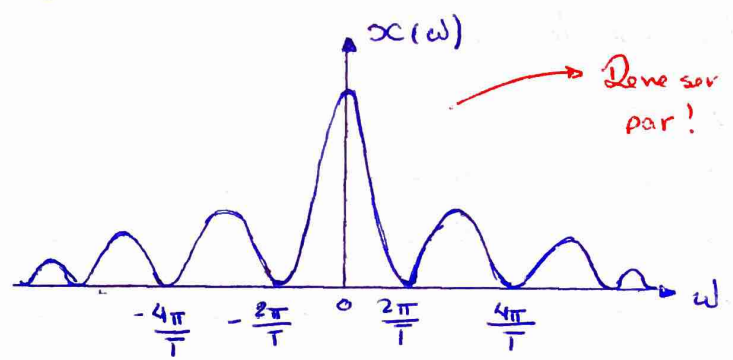
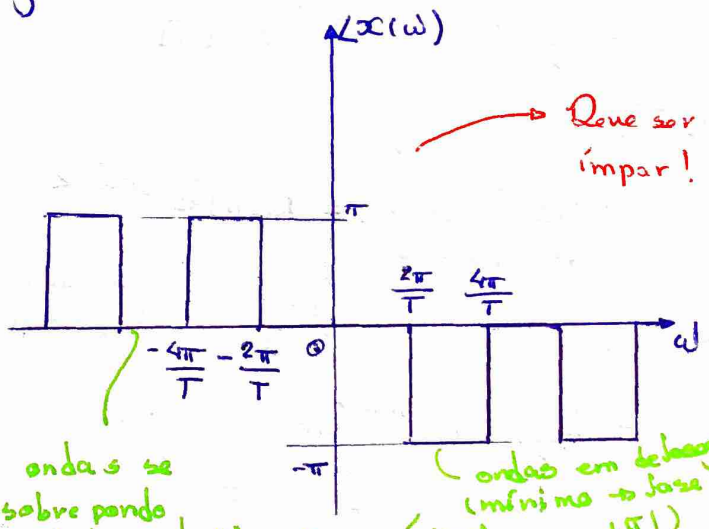


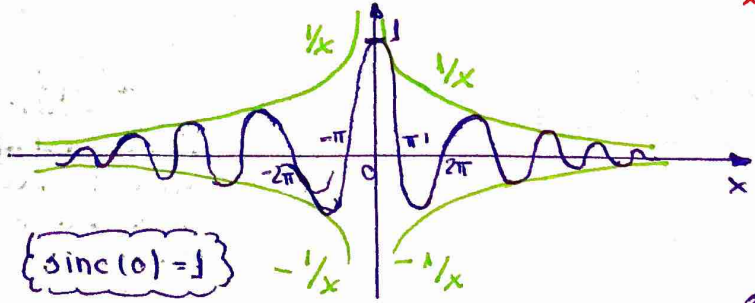
Diagrama de Fase:



Obs: Função Sinc:

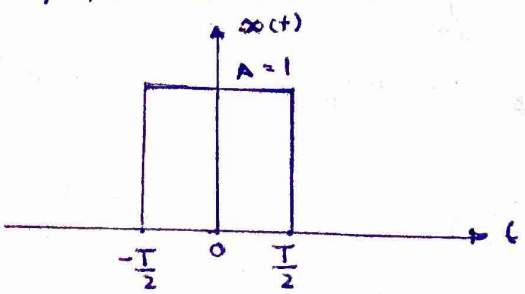
$$\operatorname{sinc}(x) = \frac{\sin(x)}{x}$$

↳ é par! período  $2\pi$  amplitude decrescente  $\frac{1}{x}$



Exemplo: calcular a transformada de um pulso regular.

$$x(t) = \begin{cases} 1, & \text{se } -T/2 < t < T/2 \\ 0, & \text{caso contrário} \end{cases}$$



$$\mathcal{X}(\omega) = \int_{-\infty}^{\infty} x(t) e^{-j\omega t} dt$$

$$\mathcal{X}(\omega) = \int_{-T/2}^{T/2} 1 e^{-j\omega t} dt = \left( \frac{-1}{j\omega} e^{-j\omega t} \right) \Big|_{-T/2}^{T/2}$$

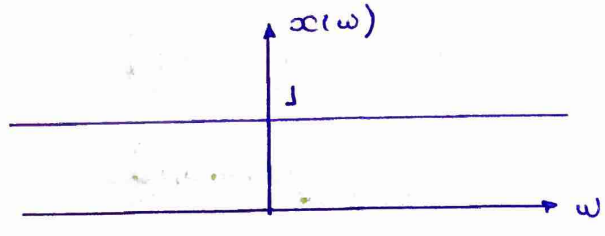
FT para impulso unitário:

$T=0$

$\mathcal{X}(\omega) = \int_{-\infty}^{\infty} x(t) e^{-j\omega t} dt = \int_{-\infty}^{\infty} \delta(t) e^{-j\omega t} dt = 1$

*Filtro*

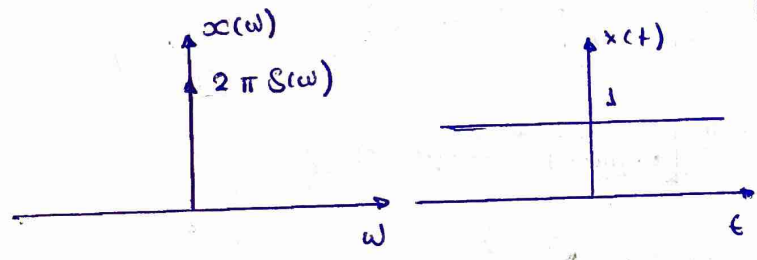
Impulso contém componentes em todas as frequências!



Inversa da FT para S(omega):

$\mathcal{X}(\omega) = 2\pi S(\omega)$

$x(t) = \frac{1}{2\pi} \int_{-\infty}^{\infty} \mathcal{X}(\omega) e^{j\omega t} d\omega = \frac{1}{2\pi} \int_{-\infty}^{\infty} 2\pi S(\omega) e^{j\omega t} d\omega = 1$



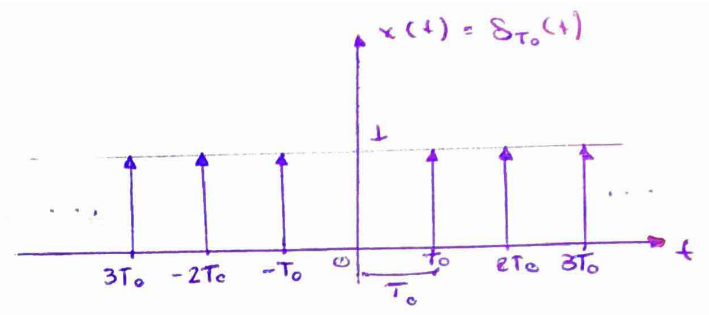
$x(t)$	$\mathcal{X}(\omega)$
$\delta(t)$	1
1	$2\pi \delta(\omega)$
$e^{j\omega_0 t}$	$2\pi \delta(\omega - \omega_0)$
$e^{-j\omega_0 t}$	$2\pi \delta(\omega + \omega_0)$
$\text{rect}(t/2a)$	$2a \text{sinc}(\omega a)$

FT para qualquer sinal periódico

$\mathcal{X}(\omega) = 2\pi \sum_{n=-\infty}^{\infty} \mathcal{X}[n] \delta(\omega - n\omega_0)$   $\Rightarrow$  FT para sinais periódicos

Coeficientes da Série de Fourier exponencial

Exemplo: FT para um trem de impulsos



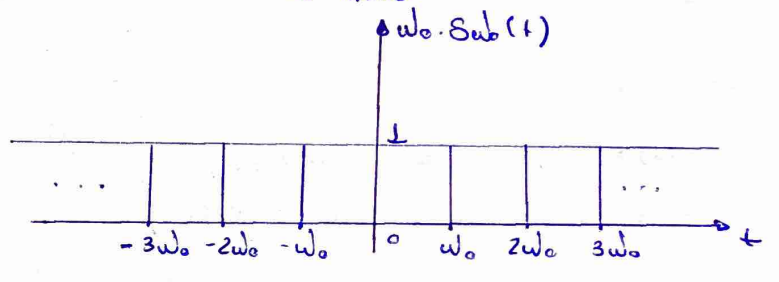
$x(t) = S_{T_0}(t) = \sum_{n=-\infty}^{\infty} \delta(t - nT_0)$

$x(t) = \sum_{n=-\infty}^{\infty} \mathcal{X}[n] e^{jn\omega_0 t}$

$\mathcal{X}[n] = \frac{1}{T} \int_T \delta(t) \cdot e^{jn\omega_0 t} dt = \frac{1}{T} \int_{-T/2}^{T/2} \delta(t) dt = \frac{1}{T}$

$\mathcal{X}(\omega) = 2\pi \sum_{n=-\infty}^{\infty} \frac{1}{T_0} \delta(\omega - n\omega_0) \Rightarrow$

$\Rightarrow \mathcal{X}(\omega) = \frac{2\pi}{T_0} \sum_{n=-\infty}^{\infty} \delta(\omega - n\omega_0)$



A série de Fourier seria:

$S_{T_0}(t) = \frac{1}{T_0} + \frac{2}{T_0} \left[ \frac{e^{-j\omega_0 t} + e^{j\omega_0 t}}{2} \right] + \frac{2}{T_0} \left[ \frac{e^{-j2\omega_0 t} + e^{j2\omega_0 t}}{2} \right] + \dots$

$= \frac{1}{T_0} [1 + 2\cos\omega_0 t + 2\cos 2\omega_0 t + \dots]$

Se tivermos um sinal não periódico que se torna periódico, a transformada fica discreta!

Propriedades:

• Linearidade:  
 $a x(t) + b y(t) \rightarrow a \mathcal{X}(\omega) + b \mathcal{Y}(\omega)$

• Translação no tempo:  
 $x(t - t_0) \rightarrow e^{-j\omega t_0} \mathcal{X}(\omega)$  (em  $t_0$ )  
 Retardar um sinal não altera o espectro de amplitude, só o espectro de fase (alterado por  $-\omega t_0$ )

• Escalonamento no tempo:  
 $x(at) \rightarrow \frac{1}{|a|} \mathcal{X}(\omega/a)$

A compressão de um sinal no domínio do tempo resulta numa expansão no domínio da frequência, e vice-versa.

• Dualidade: para qualquer relação entre  $x(t)$  e  $X(\omega)$ , existe uma relação dual, obtida trocando  $x(t)$  e  $X(\omega)$  (com pequenas modificações).

$$x(t) \longrightarrow X(\omega)$$

$$X(t) \longrightarrow 2\pi x(-\omega)$$

• Translação na frequência

$$e^{j\omega_0 t} x(t) \longrightarrow 2\pi X(\omega - \omega_0)$$

• Diferenciação = Integração

$$\frac{dx(t)}{dt} \longrightarrow j\omega X(\omega)$$

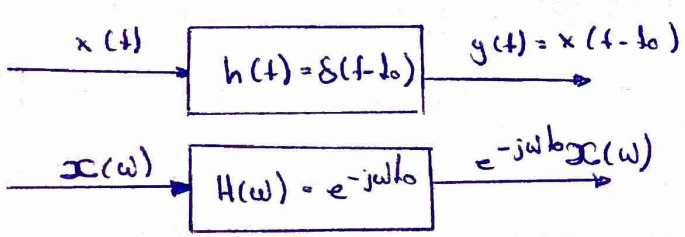
$$\int_{-\infty}^t x(\tau) d\tau \longrightarrow \frac{1}{j\omega} X(\omega) + \pi X(0) \delta(\omega)$$

• Convolução

$$h(t) * x(t) \longrightarrow H(\omega) \cdot X(\omega)$$

$$h(t) \cdot x(t) \longrightarrow H(\omega) * X(\omega)$$

Time Delay System



Exemplo: calcule a TF de  $w(t) = x(t)y(t)$ , onde  $x(t) = e^{-at} \cdot u(t)$ ,  $a > 0$ ,  $y(t) = \cos \omega_0 t$ .

Solução:  $x(t) = \begin{cases} e^{-at} & , t \geq 0 \\ \phi & , t < 0 \end{cases}$

$$X(\omega) = \int_{-\infty}^{\infty} x(t) \cdot e^{-j\omega t} dt$$

$$X(\omega) = \int_0^{\infty} e^{-at} e^{-j\omega t} dt = \int_0^{\infty} e^{-(a+j\omega)t} dt = \left. -\frac{1}{a+j\omega} e^{-(a+j\omega)t} \right|_0^{\infty} = \frac{1}{a+j\omega} = \frac{a-j\omega}{a^2+\omega^2}$$

$$|X(\omega)| = \frac{1}{\sqrt{(a^2+\omega^2)^2}} = \frac{1}{\sqrt{a^2+\omega^2}}$$

$$y(t) = \cos \omega_0 t$$

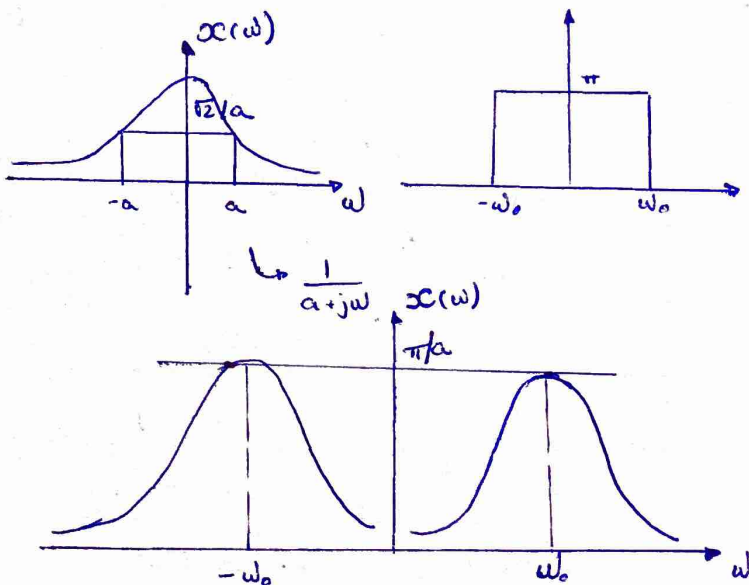
$$Y(\omega) = \pi [\delta(\omega + \omega_0) + \delta(\omega - \omega_0)]$$

$$W(\omega) = X(\omega) * Y(\omega) \quad \text{Convolução}$$

$$W(\omega) = \int_{-\infty}^{\infty} \frac{\pi}{a+j\omega'} [\delta(\omega - \omega' + \omega_0) + \delta(\omega - \omega' - \omega_0)] d\omega'$$

$$= \pi \int_{-\infty}^{\infty} \frac{1}{a+j\omega'} \delta(\omega - \omega' + \omega_0) d\omega' + \int_{-\infty}^{\infty} \frac{1}{a+j\omega'} \delta(\omega - \omega' - \omega_0) d\omega'$$

$$= \frac{\pi}{a+j(\omega+\omega_0)} + \frac{\pi}{a+j(\omega-\omega_0)}$$



Exemplo:



$$\delta_T = \sum_{n=-\infty}^{\infty} \delta(t - nT), T = \frac{1}{3}$$

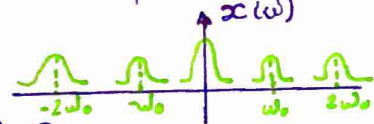
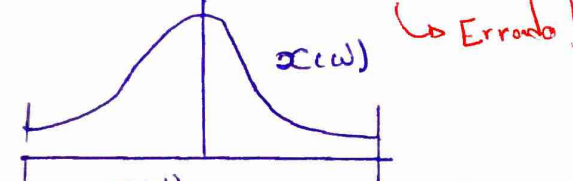
Compare a transformada do sinal  $x(t)$  com o sinal  $\tilde{x}(t)$



Solução:

$$\bar{x}(t) = \frac{1}{T} (x(t) + 2x(t) \cos \omega_0 t + 2x(t) \cos 2\omega_0 t + \dots)$$

$$\bar{x}(\omega) = \frac{1}{T} [x(\omega) + 2x(\omega) \cdot (\delta(\omega - \omega_0) + \delta(\omega + \omega_0)) + 2x(\omega) (\delta(\omega - 2\omega_0) + \delta(\omega + 2\omega_0)) + \dots]$$

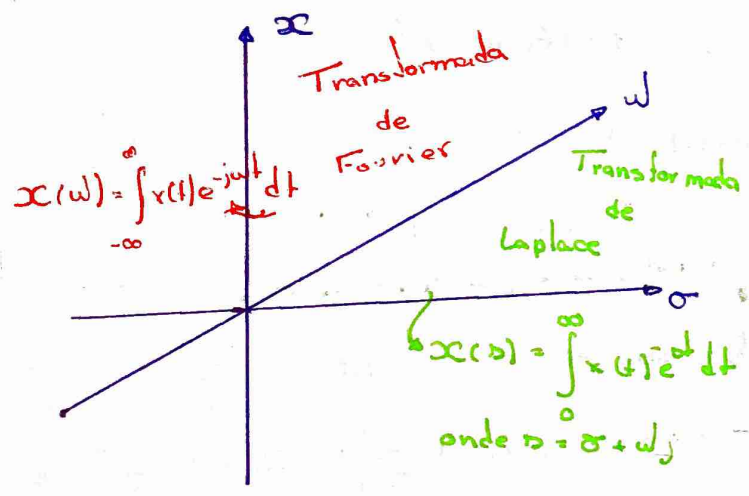


② Inoquência máxima

III) Diagrama de Bode

A Transformada de Fourier é a Transformada de Laplace em regime permanente!

Utilizamos TL para analisar estabilidade, controle e análise de impacto. Já a TF usamos para estudo de sinais.



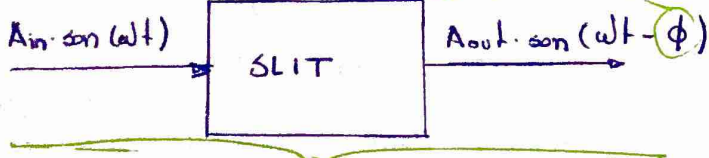
Onda senoidal: embora sinais senoidais sejam raros

na natureza, podemos decompor outros sinais em sinais senoidais

→ só para 1ª Ordem!

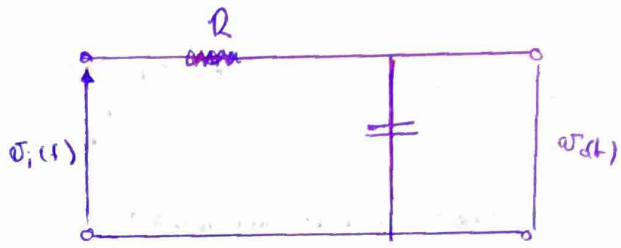
Razão de Amplitude:  $M_p(\omega) = \frac{1}{\sqrt{1 + (\omega\tau)^2}}$

$\phi = -\tan^{-1}(\omega\tau)$



Frequência não muda, só a amplitude e a fase.

Exemplo: circuito RC



$$\bar{v}_i = \bar{v}_R + \bar{v}_C \Rightarrow \bar{v}_i = R\bar{i} + \bar{v}_C \Rightarrow$$

$$\Rightarrow \bar{v}_i = RC \frac{dv_C}{dt} + \bar{v}_C, \text{ com } R=100 \Omega \text{ e } C=1nF$$

Resolvendo a EDO:  $G(s) = \frac{1}{1 + 0,1s}$

Sistema de 1ª ordem (filtro passa baixa)

Ciclo de tempo!

1)  $G(30) = \frac{1}{1 + 3j} \cdot \frac{(1 - 3j)}{(1 + 3j)} = \frac{1 - 3j}{1 + 9} = 0,1 - 0,3j$

$\|G(30)\| = \sqrt{0,1^2 + 0,3^2} = 0,316$ ;  $\angle G(30) = -\tan^{-1}(\frac{0,3}{0,1}) = -71,5^\circ$

TF em  $\bar{v}_i = RC \frac{dv_C}{dt} + \bar{v}_C \Rightarrow \bar{v}_i = RC j\omega \bar{v}_C + \bar{v}_C$

$\Rightarrow \frac{\bar{v}_C}{\bar{v}_i} = \frac{1}{1 + RC\omega j}$

OU:  $M_p = \frac{1}{\sqrt{1 + (\omega\tau)^2}} = 0,316$ ,  $\phi = -\tan^{-1}(30 \cdot 0,1) = -71,56^\circ$

$\bar{v}_i = 3 \angle 0^\circ \Rightarrow \bar{v}_C = \bar{v}_i \cdot G \Rightarrow 3 \angle 0^\circ \cdot 0,316 \angle -71,56^\circ = 0,95 \angle -71,56^\circ = 0,95 \sin(30t - 71,56^\circ)$

→ não muda!

2)  $\bar{v}_i(t) = 3 \sin(30t + 40^\circ)$

→ somar  $40^\circ$  na saída:  $\bar{v}_i = 0,95 \sin(30t - 31,56^\circ)$

3)  $\bar{v}_i(t) = 3 \sin(10t + 40^\circ) \Rightarrow G(10) = 0,5 - j0,5$

$\|G(10)\| = 0,707 = \frac{1}{\sqrt{2}}$  e  $\phi = -45^\circ$

4)  $\bar{v}_i(t) = 3 \cos(10t) \sim \cos(x) = \sin(x + 90^\circ)$

	$ G(\omega) $	$\phi$
$\omega = 10$	0,707	$-45^\circ$
$\omega = 30$	0,316	$-71,5^\circ$
$\omega = 70$	0,141	$-81,9^\circ$
$\omega = 500$	~0	$\sim -90^\circ$

O Diagrama de Bode me dá a resposta em freq. de um sistema!!! db x w

Diagrama de Bode: gráficos de Ampl. x Ineq. e fase x Ineq. em relógio a junção de transferência para ondas senoidais. quero achar a relógio entre a entrada e a saída.

É só o sistema Jor de 2ª ordem?

$$G(\omega) = \frac{K \cdot \omega n^2}{-\omega^2 + 2\zeta \omega n j \omega + \omega n^2}$$

freq. natural:  $\frac{k}{m}$

valor de amortecimento:  $\frac{b}{m} = 2\zeta \omega n$

Obs: antes (em II) fazíamos apenas uma análise de sinais. Agora, queremos entender o que ocorre na saída do sistema quando damos uma entrada senoidal. Utilizamos entradas senoidais para ter um entendimento completo das amplitudes, fases e frequência. Dessa forma, o diagrama nos auxilia a projetar filtros. **Vamos caracterizar o sist.**

Exemplo: escreva a função de transferência abaixo inteiramente em termos de fatores básicos.

$$G(s) = \frac{2(s+30)}{s(s+2)(s^2+2s+2)}$$

valor de 1ª ordem de zero real  $\zeta = 1/30$

Solução:

$$\frac{2 \cdot 30 (s/30 + 1)}{s \cdot 2 (s/2 + 1) \cdot 2 (s^2/2 + s + 1)} = \frac{15 (s/30 + 1)}{s (s/2 + 1) (s^2/2 + s + 1)}$$

valor básico integrativo

valor quadrado de polo complexo  $\omega_n = \sqrt{2}$

valor de 1ª ordem de polo real  $\zeta = 1/2$

Obs: os termos em decibéis podem ser somados! decibéis  $\rightarrow$  proporção em relação a um nível de referência da intensidade

$$20 \log_{10} \sqrt{2} = 3 \text{ dB}$$

$$20 \log_{10} \frac{1}{\sqrt{2}} = -3 \text{ dB}$$

$$20 \log_{10} 10 = 20 \text{ dB}$$

$$20 \log_{10} \infty = 40 \text{ dB}$$

Valores menores que 1 apresentam valores negativos em dB.  
20 dB para cada fator de 10 na intensidade

### Fatores Básicos

- O ganho de Bode: K
- Os fatores integrativos (polo na origem):  $(\frac{1}{s})^n$
- Os fatores derivativos (zero na origem):  $s^n$

• Os fatores de 1ª Ordem tipo polos reais:

$$\left(\frac{1}{s+1}\right)^n$$

• Os fatores de 1ª Ordem tipo zeros reais:

$$(s+1)^n$$

• Os fatores de 2ª Ordem tipo polos complexos:

$$\left(\frac{s}{1 + \frac{2\zeta}{\omega_n} s + \frac{s^2}{\omega_n^2}}\right)^n$$

• Os fatores de 2ª Ordem tipo zeros complexos:

$$\left(1 + \frac{2\zeta}{\omega_n} s + \frac{s^2}{\omega_n^2}\right)^n$$

Logo,

$$G(s) = \frac{K (z_2 s + 1) \left(1 + \frac{2\zeta_2}{\omega_{n2}} s + \frac{s^2}{\omega_{n2}^2}\right)}{s (p_1 s + 1) \left(1 + \frac{2\zeta_1}{\omega_{n1}} s + \frac{s^2}{\omega_{n1}^2}\right)}$$

Função de Transferência

$$G(j\omega) = \frac{K (z_2 j\omega + 1) \left(1 + \frac{2\zeta_2}{\omega_{n2}} j\omega + \frac{(j\omega)^2}{\omega_{n2}^2}\right)}{j\omega (p_1 j\omega + 1) \left(1 + \frac{2\zeta_1}{\omega_{n1}} j\omega + \frac{(j\omega)^2}{\omega_{n1}^2}\right)}$$

Função de Resposta em Frequência (FRF)

$$|G(j\omega)| = \frac{|K| \cdot |z_2 j\omega + 1| \cdot \left|1 + \frac{2\zeta_2}{\omega_{n2}} j\omega + \frac{(j\omega)^2}{\omega_{n2}^2}\right|}{|j\omega| \cdot |p_1 j\omega + 1| \cdot \left|1 + \frac{2\zeta_1}{\omega_{n1}} j\omega + \frac{(j\omega)^2}{\omega_{n1}^2}\right|}$$

em dB, para que vire uma soma

$$|G(j\omega)|_{dB} = |K|_{dB} + |z_2 j\omega + 1|_{dB} + \left|1 + \frac{2\zeta_2}{\omega_{n2}} j\omega + \frac{(j\omega)^2}{\omega_{n2}^2}\right|_{dB} - \left(|j\omega|_{dB} + |p_1 j\omega + 1|_{dB} + \left|1 + \frac{2\zeta_1}{\omega_{n1}} j\omega + \frac{(j\omega)^2}{\omega_{n1}^2}\right|_{dB}\right)$$

Vantagem os dB é que podemos somar a contribuição de cada parcela da FT.

$$\arg(G(j\omega)) = \arg K + \arg(z_2 j\omega + 1) + \arg\left(1 + \frac{2\zeta_2}{\omega_{n2}} j\omega + \frac{(j\omega)^2}{\omega_{n2}^2}\right) - \left(\arg(j\omega) + \arg(p_1 j\omega + 1) + \arg\left(1 + \frac{2\zeta_1}{\omega_{n1}} j\omega + \frac{(j\omega)^2}{\omega_{n1}^2}\right)\right)$$

Para desmontar o Diagrama de Bode de um sistema precisamos passar para os FATORES BÁSICOS!!!

O Diagrama de Bode pode ser obtido experimentalmente.

Lembrar:  $|G(j\omega)|_{dB} = 20 \log |G(j\omega)|$

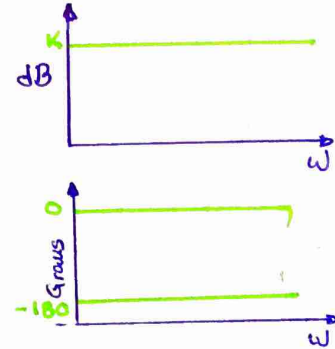
→ Influência dos componentes:

• Ganho K:

$G(j\omega) = K$  o' uma cte (não depende da frequência)

$|K|_{dB} = 20 \log |k|$

$\angle G(j\omega) = 0^\circ$ , se  $k > 0$   
 $\angle G(j\omega) = 180^\circ$ , se  $k < 0$   
 Pois, K é um número real!



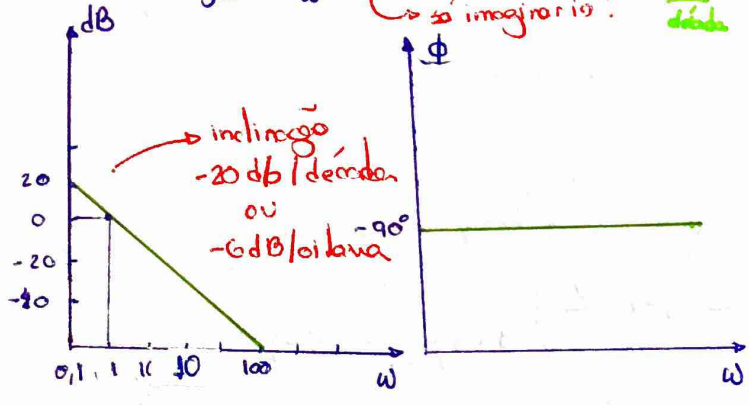
• Fator Integral  $G(j\omega) = \frac{1}{j\omega}$ :

$|\frac{1}{j\omega}| = \sqrt{0^2 + (\frac{1}{\omega})^2} = \frac{1}{\omega}$

(0, i) é sempre um ponto!

$|G(j\omega)|_{dB} = 20 \log |\frac{1}{j\omega}| = -20 \log \omega$  dB

$\angle G(j\omega) = \angle \frac{1}{j\omega} = \angle \frac{j}{j^2\omega} = 90^\circ$   
 Inclinação de -20 dB! só imaginário!



Obs:

- uma oitava é um intervalo compreendido entre ω e 2ω
- uma década é um intervalo compreendido entre ω e 10ω

• Fator derivativo:  $G(j\omega) = j\omega$

$|G(j\omega)|_{dB} = 20 \log |j\omega| = 20 \log \omega$  dB

$\angle G(j\omega) = \angle j\omega = 90^\circ$

Obs: se a função de transferência possuir o fator  $(1/j\omega)^n$  ou  $(j\omega)^n$ , as grandezas logarítmicas se tornam respectivamente:

$|G(j\omega)|_{dB} = 20 \log |(\frac{1}{j\omega})^n| = n \log |\frac{1}{j\omega}| = -20n \log \omega$  dB

$|G(j\omega)|_{dB} = 20 \log |(j\omega)^n| = n \log |j\omega| = 20n \log \omega$  dB

Inclinação de 20n dB/década

Respectivamente, os ângulos de fase são  $-90^\circ$  e  $90^\circ$ .

• Fator polo de primeira ordem:  $G(j\omega) = \frac{1}{1+j\omega\tau}$

$|G(j\omega)|_{dB} = 20 \log |\frac{1}{1+j\omega\tau}| = -20 \log \sqrt{1+\omega^2\tau^2}$  dB

→ Para baixas frequências,  $\omega \ll 1/\tau$ :

$|G(j\omega)|_{dB} = -20 \log \sqrt{1+\omega^2\tau^2} \approx -20 \log 1 = 0$  dB

→ Para  $\omega = 1/\tau$ : ω frequência de corte ou corte

$|G(j\omega)|_{dB} = -20 \log \sqrt{2} \approx -3$  dB

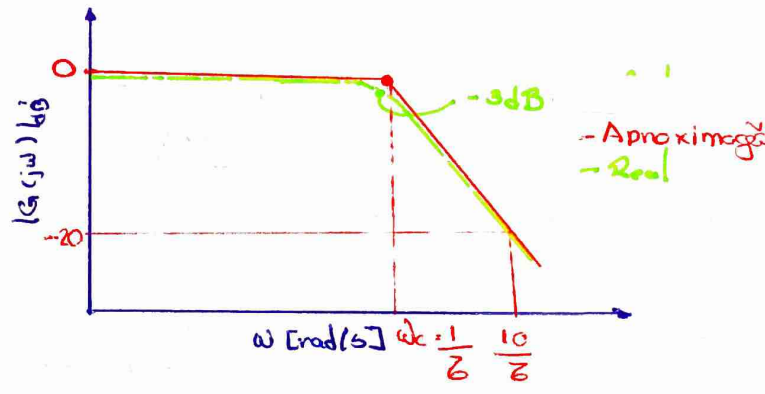
→ Para altas frequências,  $\omega \gg 1/\tau$ :

$|G(j\omega)|_{dB} = -20 \log \sqrt{1+\omega^2\tau^2} = -20 \log \omega\tau$  dB

$\omega = \frac{1}{\tau} \rightarrow |G(j\omega)|_{dB} = 0$  dB

$\omega = \frac{10}{\tau} \rightarrow |G(j\omega)|_{dB} = -20$  dB

decrease em 20dB a cada década de ω



$\angle G(j\omega) = \angle (\frac{1}{1+j\omega\tau}) = -\angle (1+j\omega\tau) = -\arctan \omega\tau$

→ Para baixas frequências,  $\omega \ll 1/\tau$ :

$\angle G(j\omega) = -\arctan 0 = 0^\circ$

→ Para  $\omega = 1/\tau$ :

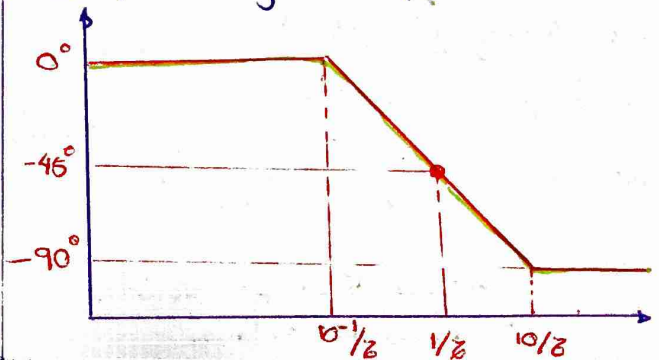
$\angle G(j\omega) = -\arctan 1 = -45^\circ$

↳ Aprox:  $10^{-1}/\tau < \omega < 10/\tau$

$\angle G(j\omega) = -\arctan \omega\tau \approx -90^\circ$

→ Para altas frequências,  $\omega \gg 1/\tau$ :

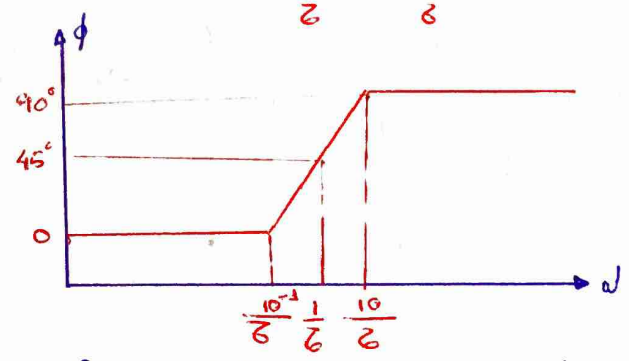
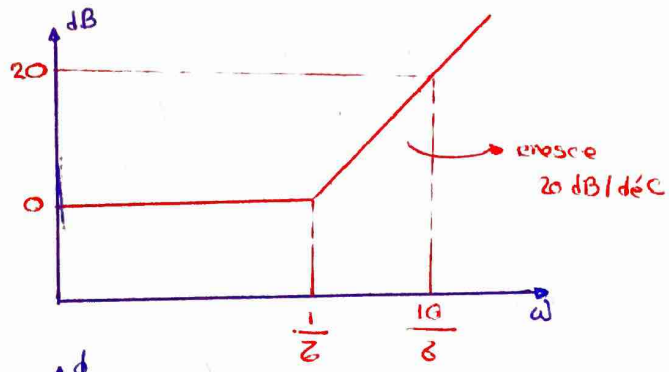
$\angle G(j\omega) = -\arctan \infty = -90^\circ$



• Fator zeros de 1ª ordem:  $G(j\omega) = 1 + j\omega\tau$

$$|G(j\omega)|_{dB} = 20 \log |1 + j\omega\tau| = 20 \log \sqrt{1 + \omega^2\tau^2} \text{ dB}$$

$$\angle G(j\omega) = \angle(1 + j\omega\tau) = \arctan \omega\tau$$



• Fatores Pólos Quadráticos:  $G(j\omega) = \frac{1}{[1 + 2\xi\frac{j\omega}{\omega_n} + (\frac{j\omega}{\omega_n})^2]}$

Pólos complexos:  $0 < \xi < 1$

Pólos duplos:  $\xi = 1$

Pólos reais distintos:  $\xi > 1$  → produto de dois fatores de 1ª ordem

$$|G(j\omega)|_{dB} = 20 \log \left| \frac{1}{[1 + 2\xi\frac{j\omega}{\omega_n} + (\frac{j\omega}{\omega_n})^2]^n} \right| \Rightarrow$$

$$\Rightarrow |G(j\omega)|_{dB} = -20n \log \sqrt{[1 - (\frac{\omega}{\omega_n})^2]^2 + (2\xi\frac{\omega}{\omega_n})^2}$$

→ Para baixas frequências,  $\omega \ll \omega_n$ : Inequência natural

$$|G(j\omega)|_{dB} = -20n \log \sqrt{1 + 0} \approx -20n \log 1 = 0 \text{ dB}$$

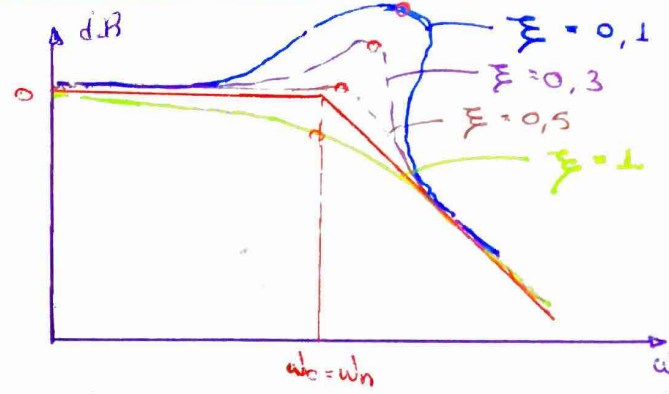
→ Para  $\omega = \omega_n$ :

$$|G(j\omega)|_{dB} = -40 \log 2\xi = 0 \text{ dB}$$

→ Para altas frequências,  $\omega \gg \omega_n$ :

$$|G(j\omega)|_{dB} = -20 \log \left| \left(\frac{\omega}{\omega_n}\right)^2 \right|^n = -40 \log \frac{\omega}{\omega_n} \text{ dB}$$

Decresce 40 dB por década ou 12 dB por oitava.



Amplitudes dos picos em relação a assíntota dependerá do valor de  $\xi$ . Pequenos valores de  $\xi$  levam a picos maiores.

A medida que o valor de  $\xi$  diminui, as curvas de  $|G(j\omega)|_{dB}$  vão ficando mais altas. E, para  $\xi > \frac{\sqrt{2}}{2}$ , surgem picos, que vão se tornando cada vez mais altos a medida que  $\xi \rightarrow 0$ . Esses picos ocorrem na chamada frequência de ressonância  $\omega_r = \omega_n \sqrt{1 - 2\xi^2}$

→ A frequência de ressonância é muito próxima da frequência natural

$$\begin{aligned} \angle G(j\omega) &= \angle \left( \frac{1}{1 + 2\xi\frac{j\omega}{\omega_n} + (\frac{j\omega}{\omega_n})^2} \right)^n = \\ &= -\angle \left( 1 + 2\xi\frac{j\omega}{\omega_n} + (\frac{j\omega}{\omega_n})^2 \right)^n = \\ &= -n \arctan \left[ \frac{2\xi\frac{\omega}{\omega_n}}{1 - \frac{\omega^2}{\omega_n^2}} \right] \end{aligned}$$

→ Para baixas frequências,  $\omega \ll \omega_n$ :

$$\angle G(j\omega) = -\arctan 0 = 0$$

→ Para  $\omega = \omega_n$ :

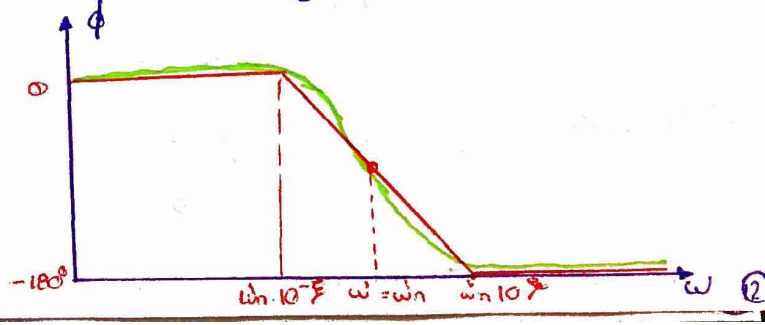
$$\angle G(j\omega) = -\arctan \infty = -90^\circ$$

$$\text{Aprox: } \omega_n \cdot 10^{-\xi} < \omega < \omega_n \cdot 10^\xi$$

O diagrama de fase fica com um declive mais acentuado a medida que  $\xi \rightarrow 0$ .

→ Para  $\omega \gg \omega_n$ :

$$\angle G(j\omega) = -\arctan(-\infty) = -180^\circ$$



As aproximações assintóticas para as curvas de resposta em frequência não são precisas para um fator com baixos valores de  $\xi$ .

Frequência e Pico de ressonância:

Quando ocorrer a ressonância teremos a máxima dissipação de energia, ou seja, a maior intensidade.

$$|G(j\omega)| = \frac{J}{\sqrt{\left(1 - \frac{\omega^2}{\omega_n^2}\right)^2 + \left(\frac{2\xi\omega}{\omega_n}\right)^2}} = g(\omega)$$

↳ teremos ressonância quando tivermos o maior  $|G(j\omega)|$ , ou seja, a maior intensidade. ( $g(\omega)$  for mínimo)

$$\frac{dg(\omega)}{d\omega} = 0 \rightarrow \omega_r = \omega_n \sqrt{1 - 2\xi^2}, \text{ para } 0 \leq \xi \leq \frac{\sqrt{2}}{2} = 0,707$$

O módulo e a fase do pico são:

$$M_r = |G(j\omega_r)| = \frac{1}{2\xi\sqrt{1-\xi^2}} \quad |M_r|_{dB} = |G(j\omega_r)|_{dB} = -20 \log 2\xi\sqrt{1-\xi^2}$$

$$\angle G(j\omega_r) = -\arctg\left(\frac{\sqrt{1-2\xi^2}}{\xi}\right) = -90^\circ + \arctan^{-1} \frac{\xi}{\sqrt{1-\xi^2}}$$

Fator zeros quadráticos:

Curvas de módulo e fase para zeros quadráticos podem ser obtidos invertendo-se o sinal das curvas de módulo e fase dos fatores de polos quadráticos. As principais diferenças são que os picos de ressonância são para baixo e as curvas de fase vão de  $0^\circ$  a  $180^\circ$ .